

V-25 コンクリート構造物の温度解析と簡易ひびわれ予測法

岐阜大学 正員 森本 博昭
岐阜大学 正員 小柳 浩

1. 目的

コンクリート構造物の熱伝導解析を行なう場合、一般に境界条件に適当な仮定を設けることにより、一次元あるいは二次元解析が行なわれることが多い。しかし、構造物の形状あるいは熱流の状態などによると、これを三次元的に取り扱わざを得ない場合もあり、また解析次元Kについて検討する上でも三次元熱伝導解析は重要である。本研究は要素分割との他の計算データー作成面で有利な六面体複合要素を用いた有限要素解析を試み、これと差分法による解の結果を比較検討したものである。さらに、これらの解の結果と夏および冬の二回にわたり実施した橋脚フーティングにおける測定結果を比較し、解の結果の精度を検討するとともに、内部拘束応力K着目して簡略的なひびわれ予測を試みた。

2. 温度上昇測定実験

温度上昇測定を実施したコンクリート構造物は愛知県内名四国直工高架橋下部工橋脚フーティングであり、夏(8月)と冬(1月)の二回実施した。夏と冬の測定実験Kがフーティングの形状寸法、コンクリートの配合および型枠材質などは全て同一であり、表-1にコンクリート配合、図-1、2にフーティング寸法を示す。また、型枠材質は1/2厚ベニヤ合板であった。熱電対による温度測定点はフーティングのほぼ中央即鉛直線工の表面から10cmの奥、中心部(表面から125cmの奥)、フーティング底面などを含めて計11点について実施した。

3. 热伝導解析

a) 有限要素解析——時間依存の場の問題に関する微分方程式と等価な離散問題に付する節点数を各要素について最小化を行なうことにより有限要素方程式群が導かれる。この際、方程式群に付する要素持性を計算するにはかなりの労力を必要とする。六面体あるいは五面体三角柱要素を使用した三次元解析を行なう場合、これを最も簡単に行なうためには四面体要素を合成した複合要素を用いるのがよいと考えられる。

そこで本研究では図-3に示すように四面体要素を合成した六面体複合要素を使用した。この場合、要素持性は單に四面体要素持性を加えあわせることにより評価できる。図-2に六面体要素による要素分割を示す。

ここで、節点数は699、要素数は423である。

b) 差分解析——差分法適用にあたっては、橋脚中央部について一次元解析を実施した。図-4に差分網を示す。

c) 数値計算因子——表-2に計算因子の値を示す。また、外気温は図-5、6に示す実測値を用いた。

4. 結果と考察

図-5、6に夏、冬の数値解析結果のうち表面部(N.623, N.1), 表面から10cmの奥(N.622, N.2), 中心部(N.620, N.6)およびフーティング底面(N.617, N.11)と各点における温度実測値を示す。実測値と有限要素解析結果を比較すると、統じて計算値は実測値よりやや低い値となっている。しかし、フーティング各点における温度上昇の傾向はほぼ一致している。次に有限要素解析結果と差分解析結果を比較すると、表面部において

粗骨材	空	水	砂	単位量(kg/m ³)			
				W	C	S	G
最大粒径 mm	充 填 率 %	水 率 %	砂 率 %				
25	8	4	58.7	44.9	162	276	813
							1027

表-1 コンクリートの配合

コンクリート初期温度(°C)	29(夏), 11(冬)
地盤初期温度(°C)	23(夏), 6(冬)
コンクリート熱伝導率(kcal/mh°C)	0.1
コンクリート比熱(kcal/kg°C)	0.24
コンクリート断熱 T(t)=35.9(1-e ^{-0.0782t}) (夏)	
温度上昇(°C) T(t)=38.1(1-e ^{-0.0288t}) (冬)	
熱伝導率(kcal/mh°C)	10(コンクリート), 8.7(型枠)
地盤の熱伝導率(kcal/mh°C)	0.77
地盤の比熱(kcal/kg°C)	0.33
地盤の単位体積重量(kg/m ³)	1730

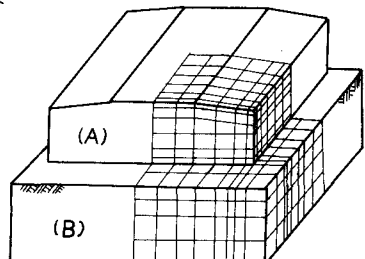


図-1. 橋脚フーティング

は両者はよく合致しているが、差分法では水平方向の熱流を無視して解析を行なつたため、フーチング体内における差（すなはち有限要素解析結果）がや高い値となつてゐる。また発熱度が大きい夏の場合にこの傾向が著しい。図-7は有限要素解析結果から算出した夏と冬のフーチング中央部と表面の温度差と平均歪形態における内部拘束応力についての簡略式 $\delta = \frac{\alpha}{3} \cdot \frac{\alpha E}{1-\nu} \Delta T$ (E :ヤング率, α :熱膨張率)。

※: 本アッセン比, ΔT : 温度差) から算出したひびわれ発生限界温度差を示す。この限界温度差を算出するにあたり CEB-FIP コード (1978) を参考にし密度、ヤング率の初期材値によく変化を考慮し、かつ温度応力が強度をもあわせた時、ひびわれが発生すると考えた。これによると、

限界温度差は冬の方がやや低い。これに
対し、フーチングにおける温度差は夏、冬
とも大差がなく、かつ限界温度差が大きく
変わらない。これより今回、フーチング
を考慮していないので限界温度差があり

（以下算定についてと思われるが、冬の方が夏より）

ひびわれ発生の危険性がやや大きいと推定され、実際に

おいても寒期施工フーチングにおいて、型枠脱型時にひびわれの発生が観察された。

文献) 森本鉄男, 第5回年次講習会講義集 P11

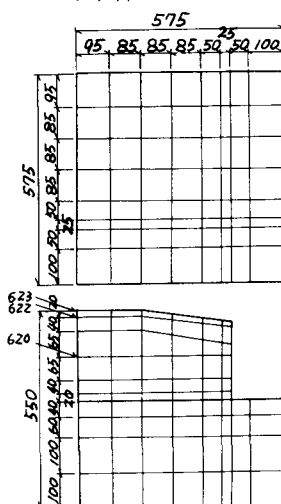


図-2 索引分割図

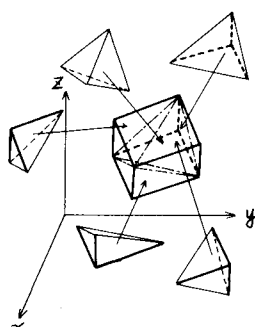


図-3 六面体複合要素

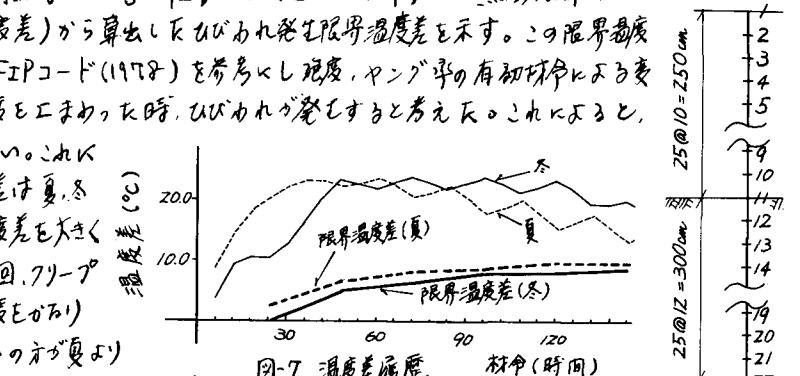


図-4 差分網

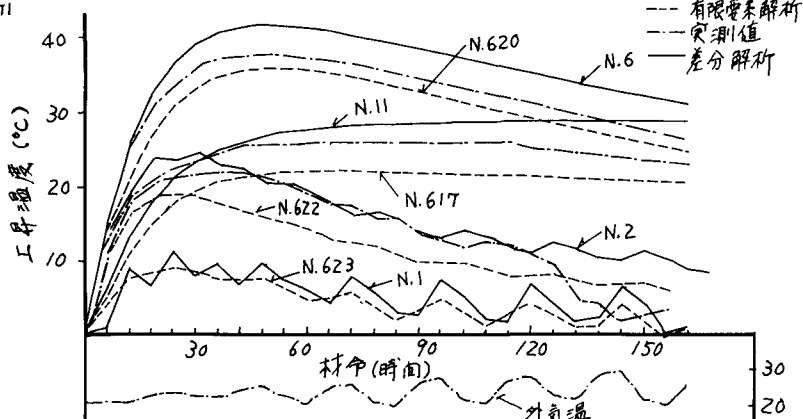


図-5 温度工昇履歴(夏)

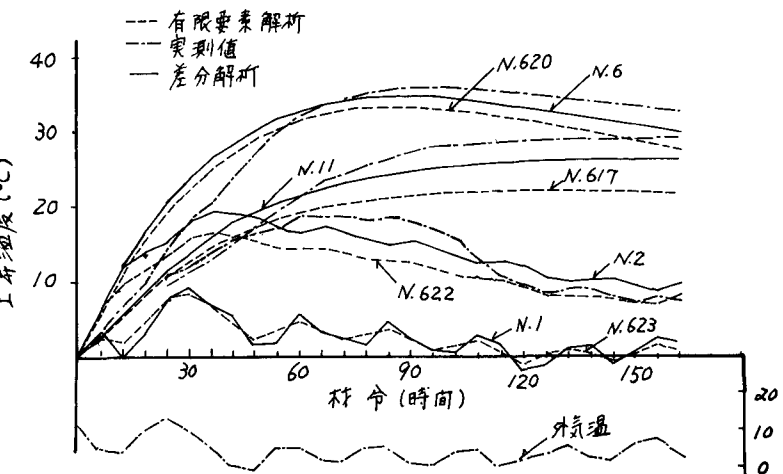


図-6 温度工昇履歴(冬)